

第 10 表 硫酸 淬 申 硫 黃 の 分 布

銘柄別	Fe				S			
	<2 mm	2mm~5mm	5mm~10mm	>10 mm	<2 mm	2mm~5mm	5mm~10mm	<10 mm
昭和電工	43.13	42.07	40.32	42.07	2.61	5.55	5.87	26.01
東洋高壓	57.43	56.37	54.85	48.40	1.60	2.53	5.50	10.31
佳友化學	52.86	49.22	>5mm 50.28		2.66	2.46	>5mm 2.84	
宇部興産	49.22		>5mm 42.43		2.20		>5mm 6.75	
旭化成	56.72	54.38	56.02		3.53	5.17	9.48	

第 12 表 硫酸漂の篩別成績

銘柄	<2 mm	2~5 mm	5~10 mm	10mm <	%			
					%	%	%	%
昭和電工	67	8	12	13				
東洋高壓	26	9	44	21				
佳友化學	76	6	11	7				
宇部興産	96	1	2	1				
旭化成	76	12	12	0				

乃ち第9表より第12表の結果、原料を篩分け塊及  
粉部を夫々焙燒乃至焼結し、焼結鐵は更に篩別の強化  
により相當の脱硫處理を遂行し得る事が判然とした。  
焼結鐵に就いては既に戸畠工場は實施中、洞岡は計畫  
中であり、尙洞岡原料掛に於ては相當大規模の原料篩  
別設備計畫を遂行しつゝあり。  
東田原料置場に於ても篩別設備を考慮中である。  
(昭 22. 12. 寄稿) (以下次號)

## コークス 爐 冬 期 保 温

西 尾 醇\*  
宮 原 正 元\*  
上 田 恒 夫\*

### WARMING UP THE COKE OVEN IN WINTER

A. Nishio, M. Miyahara, T. Ueda

Synopsis: — As the coke ovens are built up with a great deal of silica bricks, having so many expansion gaps in their bodies, we must keep them warm by some means, when the heating gas has been stopped by the want of coal, etc.

In general, it is said to be very hard to reoperate them, if we don't pay a prudent attention to their bodies.

The essential point of this experiment of keeping the coke ovens warm during the winter season, exists in the introduction of hot wind into the coke ovens by means of the hot wind furnace, that is the simple method using less materials, and at the same time, checking the freezing of many silica bricks and also the removing the moisture from the bodies.

Then we tried to keep the coking chambers in about 10°C by means of passing the hot wind through them as follows: — C-gas pipe → flues → gaps in the wall → coking chambers → ascension pipes → the opposite flues → regenerators → sole flues → waste valves → outside.

Now we found the following facts from our experimental results.

\* 日本鑄石製鐵所

- (1) We could keep the coke ovens warm homogeneously and ideally.
- (2) The hot wind by electric heating was better than that of coke burning.
- (3) The volume of the hot wind was an important element, regardless of the temperature, that is, the fan must have large capacity.
- (4) In our place, we must begin to keep the coke ovens warm in early november at latest.
- (5) The hot wind by electric heating can be used for other air heating.

## I 序 論

コークス爐は龐大なる硅石煉瓦に依つて作られて居り、その築造に當つては各所に膨脹目地有し、相當面倒なる煉瓦積を施行されて居る故石炭事情其の他やむを得ざる理由に依り、加熱ガス中止されるときはコークス爐は徐冷蒸込を行ふのが普通であるが、其の後の爐體に對する面倒を見なければ再度使用は思ひもよらなくなる。

従つて此の対策として嚴寒期に入る前にコークス爐内の溫度を  $10^{\circ}\text{C}$  内外に保ち硅石煉瓦の凍結を防止すると同時に煉瓦に含んだ水分を放散せしめ豫備乾燥を行はんとした、所謂冬期保溫を實施せんとしたのである。

其の方法としてはコークス爐に電氣保溫を實施する計畫を立てた。

即ち炭化室内に各裝入口よりヒーターを吊り下げ此れに電流を通じ爐内を適當の溫度に保つ案を立てたが龐大な資材を要し、又此の方法では煉瓦の局部加熱があり、良策とは云ひ難し、依而コークス爐外に電氣ヒーターよりなる熱風爐を築り、これで得た熱風をファンにてガス分配管に壓送し、これより爐内に吹き込み隨時切替機を作動せしめ、爐内の熱風方向を切替へ加熱の均一化を計ることとした。

然し第四コークス爐のみ電氣となし、他はコークス焚燒に依る熱風爐を築造し、この燃燒廢ガスである熱風を第四コークス爐同様ファンに依り分配管を経て爐内に押送した、其の熱風の吹込経路は熱風爐  $\rightarrow$  ガス分配管  $\rightarrow$  フリュー  $\rightarrow$  反對側フリュー  $\rightarrow$  蓄熱室  $\rightarrow$  ソルフリュー  $\rightarrow$  煙道  $\rightarrow$  煙突  $\rightarrow$  大氣。

然しこの方法實施後煙突のドラフト次第に強くなりフリュートップは負となり、又煉瓦の目地切れの爲めフリューより直接反對側のフリューにショウトする結果となり、爐温上昇進まぬ結果となつた爲め種々考究の結果サプライダンバーを落し煙道を遮断し、廢氣は上昇管プラグ及びサプライバルブよりごく少量放出せしめ爐内を熱風に依り出来るだけ正壓に保つ様極力外氣の爐内侵入を防止した。其の結果爐温上昇目立つて良好となつた、又蓄熱の一部はサプライバルブより

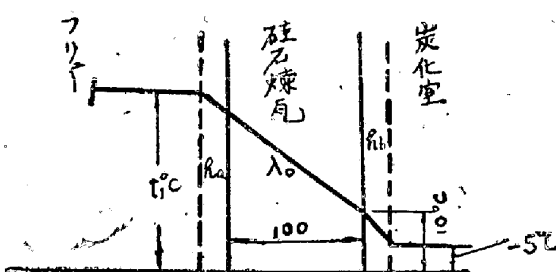
放散せしめた爲めエアー室（プラットフォーム）も外氣より幾分上昇し、蓄熱室の面壁の凍結防止をなし得た。

## II 設 計

### (A) 第四コークス爐（黒田式）

序論に述べた如く第四コークス爐は電氣保溫を實施す從つて他コークス爐を分離して設計す。

第 1 圖



(1) 炭化室硅石煉瓦の表面溫度を  $10^{\circ}\text{C}$  に保つに要する熱量。

外氣の溫度を  $-5^{\circ}\text{C}$  と假定し、第1圖の如く、熱風を flue  $\rightarrow$  opposite flue に通じて炭化室硅石煉瓦の表面溫度を  $10^{\circ}\text{C}$  に保つとすると、外氣との溫度差の爲めに相當の熱量を自然對流に依り奪取られる、その時の境界傳熱係數を  $hb$  とすれば、化學工學 p-134 (内田、龜井、八田) に依り

$$hb = 1.69(4t)0.25 = 1.69 \times 150 \cdot 25$$

$$= 3.33 \text{ KCal/m}^2\text{hr}, ^{\circ}\text{C}$$

$$\text{而して傳熱面積 } A = 12 \times 4 \times 35 = 1.680 \text{ m}^2$$

故に炭化室硅石煉瓦表面溫度を  $10^{\circ}\text{C}$  に保つに要する熱量  $q^1$  は

$$q^1 = 3.33 \times 1.680 \times [10 - (-5)]$$

$$= 83,920 \text{ KCal/hr} \quad (1)$$

但し爐體外部全表面よりの熱損失は考へず

### (2) 其の時のフリュー溫度

上述の熱量をフリューより (傳導に依り) 供給しなければならない。

硅石煉瓦の熱傳導率  $\lambda_0 = 0.36 \text{ kcal/m}^2\text{hr}^{\circ}\text{C}$  (化學工學 p-665) 又フリュー側境界傳熱係數 (強制對流に依る場合)  $ha = 10 \text{ KCal/m}^2\text{hr}^{\circ}\text{C}$  と假定すれば、

總括傳熱係數  $\bar{U}$  は

$$U = \frac{1}{\frac{1}{10} + \frac{0.10}{0.36} + \frac{1}{3.33}} = 1.47 \text{ kcal/m}^2\text{hr}^\circ\text{C}$$

故にフリュー内温度もは

$$83,9200 = 1,47 \times 1,680 \times (t_1 - 10) \quad t_1 = 44^\circ\text{C} \quad (2)$$

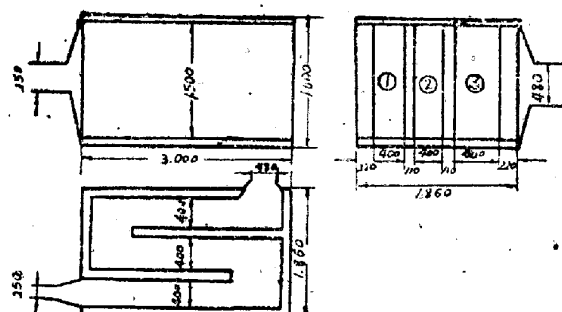
(3) 所要空氣量 $71.7 \text{ m}^3/\text{min}$  と計算される。

(4) 所要電力 212 kw/hr となる。

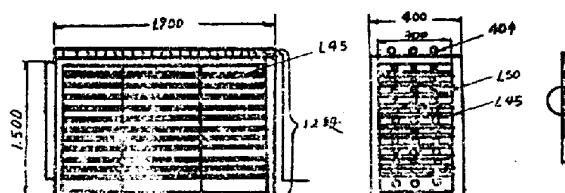
(5) 加熱室 (第2圖)

4.1 m/m の鐵線を用ひ電力 200 kw を使用して鐵線の溫度が 300°C を越へざるときの鐵線の所要長さを實験したる處 (65 m 36 本) 2,280 : n 必要とせり。この鐵線 65 m 12 本を 1 組としてコイル内徑 40 m/m なる (第 3 圖の如く) ヒーター 3 台を作り 3 密にそれぞれ入れる。

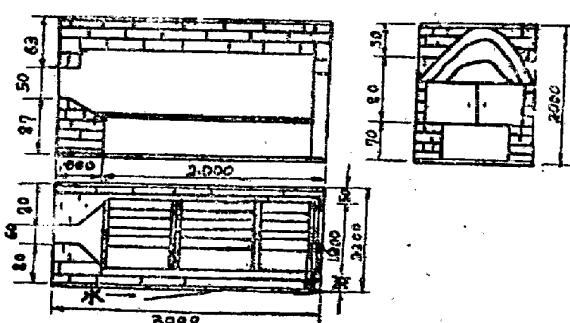
## 第2圖 ヒーター



### 第3圖 加熱室



第 4 頁



(B) 第二及び第五・六コーケス爐（日鐵大野式）  
序論に於て述べた如く第二及び第五・六コーケス爐

はコークスにより保溫を實施せり、而して加熱爐は第五・六コークス爐共通のものを使用す。(第4圖)

### (1) 加熱爐に於ける發生總熱量及び爐出口溫度

今  $H_2:0.29$  C = 84.16 N<sub>2</sub>:O O<sub>2</sub>: 0.7 S: 0.23

ash 14.62 H<sub>2</sub>O 10.なる組成の Cokeを焚焼し、焚燒速度41.7kg/hr (1t/d) の割合で excess air を 15 倍とすると、熱損失を差引き 燃出口溫度  $t_1 = 143^{\circ}\text{C}$

## 實驗裝置

(1) 第四コータス壠に Orifice meter を取付ける  
イ) Orifice の徑を次の計算に依り  $d = 0.175m$  と  
す、(徑 0.25m なる Pipe に Orifice meter を取付  
ける)

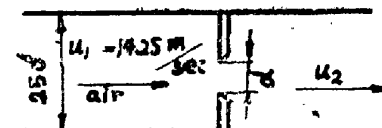
(2) Heater の実験に際し Power factor meter watt meter, Ampere meter を取付ける。

(3) 配管 Pipe の各所に temp. 及び Pressure 測定用取出口を付ける。

(4) 'Flue' 内に溫度計を入れる(窓上より約 2 m)

爐 別	代表フリュー			基數
第一 コークス爐	3 號	23 號	43 號	45
第四 "	7	17	27	35
第五 "	7	14	25	33
第六 "	7	14	25	33

第 5 關



次記番號の窓に温度計を装入する。

(5) 基の他サプライ外気濃度を測定す。

#### IV 實驗結果

(1) 第四コーカス爐電氣保溫に関する實験結果〔第6圖〕イ) Heater temp.と Current, Voltage の關係測定

a) 日時昭和 22. 1. 21. A. M. 10-00 第三室 heater  
1 号に付き test す

fan を停止して heater 自身の最高温度を測定す  
同時に Current と Voltage を測定す。

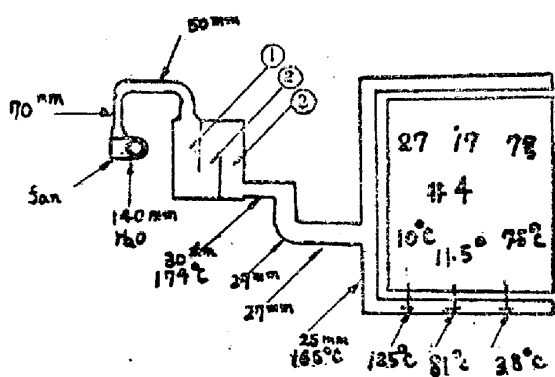
time	heater temp.	room temp.	Current amp.	Voltage Volt.	K.V.A.	K.W.	power factor	Note
	°C	°C						
10.10	90	40	270	228	106	99	93	外温 3°C
15	240	130	200	228	78.9	71	90	流量 0
20	280	165	190	228	74.8	68	90	
25	295	185	185	220	70.2	63.4	90	
30	305	194	182	220	69.2	62.7	88	Heater は 1 台のみ通電す
35	315	204	180	219	68.2	60.7	89	thermo-couple の位置爐上より
40	325	218	175	218	66	59.6	90	
45	335	222	175	226	68.2	62.0	90	heater 上段 coil に結ぶ
50	340	228	175	226	68.4	61.6	90	
55	350	234	172	229	68.2	60.9	89	thermo-mometer は前壁の中央より装入す
11.00	355	244	170	228	67	60.5	90	
05	360	249	170	228	67	60.8	90	
10	365	254	165	228	65	59.4	91	

time	heater temp.	room temp.	Voltage	Current	K.V.A.	K.W.	Power factor	note
	°C	°C	Volt	Amp				
1.10	180	45	228	260	104.5	92.8	88	heater 2 台通電
15	205	158	230	225	93.5	90.8	97	外温 6°C
20	215	168	228	220	86.8	78.7	91	
25	220	172	230	200	79.7	68.3	85	流量 42 m³/min
30	225	173	216	210	78.6	72.2	92	
35	225	173	217	210	78.9	72.3	91	thermo-Couple は第三室 heater
38	Heater 3 台に通電す							
40	220	187	214	205	76	69.1	90	二段の Coil に結ぶ
45	220	203	216	205	76.7	70.2	91	heater 3 台に通電す
50	225	213	220	202	77	69.7	90	
55	235	218	220	200	76	68.8	90	
200	240	222	208	190	68.4	62.5	91	
05	250	224	208	190	68.4	62.5	91	
10	260	228	224	200	77.6	69.7	90	
15	260	232	222	197	76	68.9	90	
20	265	234	234	195	74.9	68.8	91	
25	280	237	237	195	75.2	68.8	91	
2.30	280	237	238	179	76.7	68.3	89	11 式参照

b) 日時昭和 22. 1. 21. Am. 13.00 Heater 2 台及 3 台通電し第三室 heater に付き Current, Voltage, temp, を測定す。(上表)

ロ) 热風の温度及び氣温測定(ヒーター三室の中二室を交互に使用せり)

(第 6 圖)

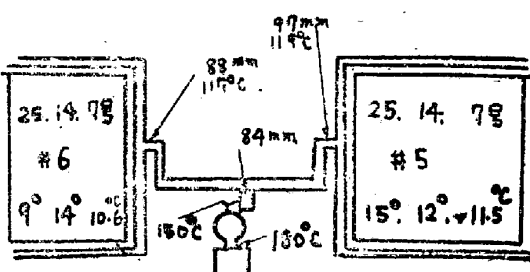


(昭和 22. 12. 25~22. 1. 29)

摘要	最高	最低	平均
	°C	°C	°C
外気温度	7	-9	-1
フリュー温度	10.7	3.5	7.0
サプライ温度	6	1	3.5
熱風爐出口温度	265	120	192

送風量 42 m³/min の電力 144 k.w/hr/2 台分  
(216 k.w/hr/3 台分)

(第 7 圖)



(昭和 21. 12. 26~21. 12. 29)

摘要	最高 °C	最低 °C	平均 °C
外気温度	7	-9	-1
フリュー温度 (5)	15	4	9.5
〃 (6)	14	3	8.5
エヤー室温度	7	3	5
サプライ温度	6	1.5	3.7
ファン入口温度	160	90	125

(2) 第五、六コークス爐コークス保溫に関する實驗結果(第7圖及び上表)

送風量 140 m<sup>3</sup>/min コークス使用量 100 kg/d

(3) 第二コークス爐コークス保溫に関する實驗結果

送風量 70 m<sup>3</sup>/min コークス使用量 500 kg/d (第8圖)

(4) 各コークス爐の比較

fan の容量の大なるものほど保熱効果大(下表)

爐別	風量	基數	1基に對する風量	Flue temp の平均	熱源
第四コークス爐	42 m <sup>3</sup> /min	35	1.2 m <sup>3</sup> /min 1基	7.0 °C	電熱
第二 "	70	45	1.5	7.3	コークス焚燒
第五、六 "	140	66	1.24	9.0	"

## V 結論

コークス爐冬期保溫と云ふことは序論に於て明な如く、龐大なる珪石煉瓦の凍結を防止しコークス爐の保全を計るにある。今回の當所の實驗は資材を餘り要せず且つ簡単なる方法にて現有設備を利用して炭化室のみならず爐全體を保溫した熱風吹込式保溫法に成功したことである。

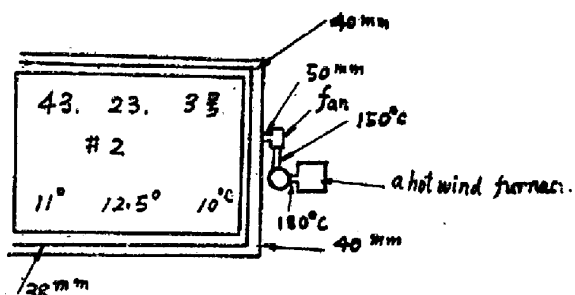
然し當初の計畫では各炭化室内にヒーターを插入しこゝに電流を通じ炭化室内の保溫を計る計畫であつたが龐大なる資材を要し且つ資材の入手難の爲め計畫を變更して熱風爐を作りこの熱風を C-gas 分配管内へ壓送し廢氣を上昇管より大氣に放出せしめることにした。

後に至り蓄熱室の保溫も考慮し廢氣を煙道へ引いたのであるが實驗中、種々考究の結果サプライバルブを閉ぢ廢氣を煙道へ引くのを中止し、専ら熱風を爐内に壓送し廢氣を上昇管プラグ及びサプライバルブより極少量開きこれより辛じて廢氣を放出せしめ専ら爐内を正圧に保つ様に工夫して冷い外氣の爐内への侵入を極力防いだ。

即ち熱風吹込経路は

熱風爐→分配管→  
フリュー ↗炭化室→上昇管→大氣。  
反対側フリュー→蓄熱室→

(第8圖)



(昭和 21. 12. 19~22. 1. 29)

摘要	最高 °C	最低 °C	平均 °C
外気温度	7	-9	-1
フリュー温度	11	3.5	7.3
ファン入口温度	170	40	105

→ソールフリュー→サプライバルブ→エヤー室内放散其の結果エヤー室(サプライバルブのある部屋即ちプラットホーム下)も廢氣の爲めに温まり室内はもとより各爐とも溫度差少く爐全體を均一且つ理想的なる保溫をなし得た、從つて熱風の溫度はフリュー内に於て 10°C 内外に豫期通りのコークス爐冬期保溫をなし得た。

而して實驗結果より明な如く

I) 热風の溫度は低くとも熱風の量が決定的要素である、即ち1窯に對する風量の最も多い第五、六コークス爐の保溫が最高で風量の少い第四コークス爐が最も低である、これ等は全くファンの能力に左右される。

II) 又冬期保溫の實施は遅くとも當地に於ては 11 月初旬に開始すべきである、外氣溫度の低い月下旬に開始したる爲め爐體そのものが冷却し切つてゐるのでフリュー内溫度を 10°C に上げるのに相當の時間を要した。

最後に本計畫に對して當所伊藤隆吉氏並に志賀芳雄氏の御鞭撻により且つ電氣方面では渥清氏及び駒木俊二郎氏の御協力及びオリフィスに關しては柏木政敏氏土居楠美氏等の御助力に對し未筆ながら御禮申上げます。

(昭和 22 年 6 月寄稿)